

## Локально – неравновесный теплообмен в стержне в условиях вынужденной конвекции

*А.В. Еремин*

*Самарский государственный технический университет, Самара*

**Аннотация:** На основе теории двухфазного запаздывания разработана математическая модель теплопроводности в стержне произвольного сечения в условиях конвективного теплообмена с окружающей средой. При выводе дифференциального уравнения, описывающего процесс переноса теплоты в локально – неравновесных условиях, использовалась формула закона Фурье, учитывающая однократную релаксацию как теплового потока, так и градиента температуры. Анализ результатов численных расчетов распределения температуры по длине стержня позволил определить зависимость оптимальной длины стержня от интенсивности теплообмена с его боковой поверхности.

**Ключевые слова:** интенсификация теплообмена, граничные условия третьего рода, пространственно – временная нелокальность, теория двухфазного запаздывания, метод конечных разностей.

В промышленности широко используются различного рода теплообменные аппараты, предназначенные для передачи теплоты от одной среды (газ, жидкость, расплавленный металл и проч.) к другой. Их эффективность характеризуется количеством теплоты, передаваемой через единицу площади в единицу времени, которое зависит от многих факторов: геометрической формы поверхностей (ребра, стержни, шипы, лунки и проч.); физических свойств материала теплообменника и омывающих сред; коэффициентов теплоотдачи, зависящих от скоростей течения сред [1, 2]. С целью интенсификации теплообмена во многих случаях применяются стержни, расположенные перпендикулярно теплопередающей поверхности, преимущество которых состоит в максимальной простоте конструкции. Однако их тепловой расчёт в нестационарных режимах работы связан со значительными трудностями ввиду необходимости решения краевой задачи для дифференциального уравнения, включающего слагаемое, учитывающее конвективный теплообмен стержня с окружающей средой [3].

Особый интерес представляют теплообменные процессы, протекающие в локально – неравновесных условиях. К таким процессам относятся быстропотекающие процессы, продолжительность которых сопоставима с временем релаксации  $\tau$ , а также любые другие процессы, рассматриваемые на весьма малых начальных временных участках [4 – 9].

Рассмотрим вывод дифференциального уравнения теплопроводности для конечного стержня произвольного сечения в условиях конвективного теплообмена с окружающей средой с учетом локальной неравновесности (рис. 1). Для этого модифицируем закон Фурье вида  $q = -\lambda \partial T / \partial x$  так, чтобы в нем было учтено изменение во времени градиента температуры и теплового потока [6 – 9]

$$q = -\lambda \left( \frac{\partial T}{\partial x} + \tau \frac{\partial^2 T}{\partial x \partial t} \right) - \tau \frac{\partial q}{\partial t}. \quad (1)$$

Запишем соотношение теплового баланса для элементарного участка стержня, с учетом теплообмена на боковой его поверхности [3]

$$c\rho S \frac{\partial T}{\partial t} \Delta x \Delta t = -S \frac{\partial q}{\partial x} \Delta x \Delta t + \alpha_1 p (T_{\text{ср}} - T) \Delta x \Delta t, \quad (2)$$

$p$  – периметр;  $\alpha_1$  – коэффициент теплоотдачи с боковой поверхности;  $S$  – площадь сечения;  $T_{\text{ср}}$  – температура среды.

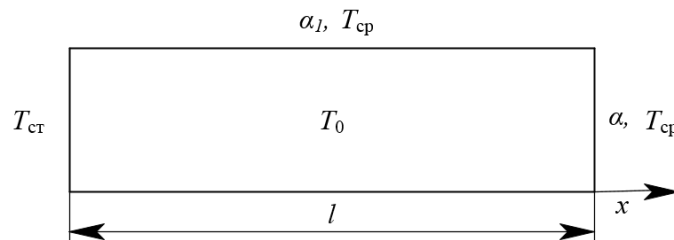


Рис. 1. – Схема теплообмена в стержне

Разделим обе части уравнения (2) на  $c\rho S \Delta x \Delta t$

$$\frac{\partial T}{\partial t} = -\frac{1}{c\rho} \frac{\partial q}{\partial x} + \frac{\alpha_1 p}{c\rho S} (T_{\text{ср}} - T). \quad (3)$$

Подставляя (1) в (3), находим

$$\frac{\partial T}{\partial t} = \frac{\tau_1}{c\rho} \frac{\partial}{\partial t} \left( \frac{\partial q}{\partial x} \right) + a \frac{\partial^2 T}{\partial x^2} + a\tau_2 \frac{\partial^3 T}{\partial x^2 \partial t} + b(T_{cp} - T), \quad (4)$$

где  $b = (\alpha_1 p) / (c\rho S)$  – константа;  $a = \lambda / (c\rho)$  – коэффициент температуропроводности.

Выразим из (3)  $\partial q / \partial x$

$$\frac{\partial q}{\partial x} = -c\rho \frac{\partial T}{\partial t} + bc\rho(T_{cp} - T). \quad (5)$$

Подставим (5) в (4)

$$\frac{\partial T}{\partial t} = -\tau_1 \frac{\partial^2 T}{\partial t^2} - \tau_1 b - \frac{\partial T}{\partial t} + a \frac{\partial^2 T}{\partial x^2} + a\tau_2 \frac{\partial^3 T}{\partial x^2 \partial t} + b(T_{cp} - T). \quad (6)$$

Уравнение (6) можно записать в виде

$$(1 + \tau_1 b) \frac{\partial T}{\partial t} + \tau_1 \frac{\partial^2 T}{\partial t^2} = a \left( \frac{\partial^2 T}{\partial x^2} + \tau_2 \frac{\partial^3 T}{\partial x^2 \partial t} \right) + b(T_{cp} - T). \quad (7)$$

Краевые условия для случая, когда на одном из торцов стержня поддерживается постоянная температура (граничные условия первого рода), а на втором торце стержня теплообмен происходит при граничных условиях третьего рода (причем коэффициенты теплоотдачи с боковой поверхности и с торца не равны) имеют вид

$$T(x,0) = T_0; \quad \frac{\partial T(x,0)}{\partial t} = 0; \quad T(0,t) = T_{cr}; \quad \lambda \frac{\partial T(l,t)}{\partial x} = \alpha(T_{cp} - T), \quad (8)$$

где  $T_0$  – начальная температура;  $T_{cr}$  – температура стержня при  $x=0$ ;  $\alpha$  – коэффициент теплоотдачи на торце стержня.

Обозначим:

$$\Theta = \frac{T - T_{cp}}{T_0 - T_{cp}}; \quad Fo = \frac{at}{\delta^2}; \quad \xi = \frac{x}{\delta}; \quad Fo_1 = \frac{a\tau_1}{\delta^2}; \quad Fo_2 = \frac{a\tau_2}{\delta^2};$$

$$Bi = \frac{\alpha l}{\lambda}; \quad D = \frac{T_{cr} - T_{cp}}{T_0 - T_{cp}}; \quad B = bl^2 / a; \quad D = \frac{T_{cr} - T_{cp}}{T_0 - T_{cp}}; \quad Fo_3 = 1 + b\tau_1.$$

Задача (7), (8) с учетом обозначений будет

$$Fo_1 \frac{\partial^2 \Theta}{\partial Fo^2} + Fo_3 \frac{\partial \Theta}{\partial Fo} = \frac{\partial^2 \Theta}{\partial \xi^2} + Fo_2 \frac{\partial^3 \Theta}{\partial \xi^2 \partial Fo} - B\Theta; \quad (9)$$

$$\Theta(\xi, 0) = 1; \quad \frac{\partial \Theta(\xi, 0)}{\partial Fo} = 0; \quad \Theta(0, Fo) = D; \quad \frac{\partial \Theta(1, Fo)}{\partial \xi} + Bi\Theta(1, Fo) = 0. \quad (10)$$

Если положить  $\tau_1 = \tau_2 = 0$ , то уравнение (9) приводится к классическому уравнению для стержня с учетом теплообмена на боковой поверхности

$$\frac{\partial \Theta}{\partial Fo} = \frac{\partial^2 \Theta}{\partial \xi^2} + -B\Theta.$$

При решении задачи (9), (10) численным методом введем пространственно – временную сетку с шагами  $\Delta \xi$ ,  $\Delta Fo$  по переменным  $\xi$ ,  $Fo$  так, что

$$\xi_i = i\Delta \xi, \quad i = \overline{0, I}; \quad Fo_k = k\Delta Fo, \quad k = \overline{0, K}, \quad (11)$$

где  $I, K$  – число шагов по координатам  $\xi, Fo$ .

На сетке (11) введем сеточные функции  $\Theta_i^k = \Theta(\xi_i, Fo_k)$  [10]. Используя явную схему аппроксимации, задача (9), (10) может быть записана в виде

$$Fo_1 \frac{\Theta_i^{k-1} - 2\Theta_i^k + \Theta_i^{k+1}}{\Delta Fo^2} + Fo_3 \frac{\Theta_i^{k+1} - \Theta_i^k}{\Delta Fo} = \frac{\Theta_{i-1}^k - 2\Theta_i^k + \Theta_{i+1}^k}{\Delta \xi^2} + Fo_2 \frac{\Theta_{i-1}^{k+1} - 2\Theta_i^{k+1} + \Theta_{i+1}^{k+1} - \Theta_{i-1}^k + 2\Theta_i^k - \Theta_{i+1}^k}{\Delta \xi^2 \Delta Fo} - B\Theta_i^k; \quad (12)$$

$$\Theta_i^0 = 0; \quad \Theta_i^0 = \Theta_i^1; \quad \Theta_0^k = D; \quad \frac{\Theta_I^k - \Theta_{I-1}^k}{\Delta \xi} + Bi\Theta_I^k = 0. \quad (13)$$

Результаты решения задачи (12), (13) представлены на рис. 2 – 4.

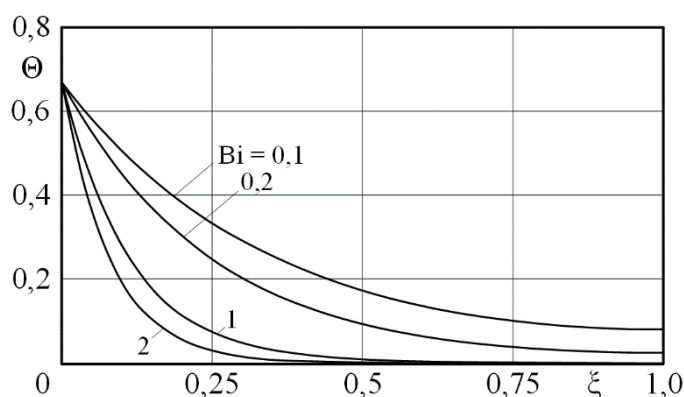


Рис. 2. – Распределение температуры в стержне:

$$Fo_1 = Fo_2 = 0; D = 0,667; B = 160$$

Анализ результатов численных расчетов распределения температуры по длине стержня позволяет заключить, что при высокой интенсивности теплообмена ( $Bi > 0,5$ ) часть стержня принимает температуру окружающей среды (см. рис. 2). Так, например, при  $Bi = 1$  безразмерная температура в диапазоне значений  $0,6 \leq \xi \leq 1$  равна нулю. При этом тепловой поток в направлении оси стержня на этом участке отсутствует. Таким образом, дальнейшее увеличение длины стержня не приводит к увеличению теплового потока в направлении оси стержня, т.е. существует оптимальная длина стержня, при которой тепловая мощность стержня (шпира, ребра) перестает увеличиваться. На рис. 3 представлена зависимость оптимальной длины  $\xi$  стержня от  $Bi$ .

В статье также выполнена оценка влияния коэффициентов релаксации на процесс теплообмена в стержне. На рис. 4 приведены результаты расчетов температуры в неустановившемся процессе теплообмена. Их анализ позволяет заключить, что учет релаксационных свойств оказывает наибольшее влияние на процесс теплообмена в диапазоне временной переменной  $0 < Fo \leq 0,2$ . С течением времени расхождение результатов расчетов при  $Fo_1 = Fo_2 = 0$  и  $Fo_1 = Fo_2 = 0,1$  уменьшается и не превышает 5%.

Процесс установления граничных условий первого рода составляет  $\Delta Fo \approx 0,2$ .

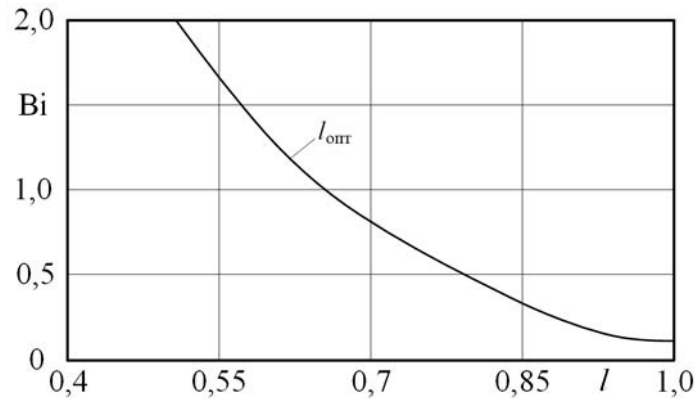


Рис. 3. – Зависимость оптимальной длины стержня от  $Bi$ :

$$Fo_1 = Fo_2 = 0; D = 0,667; B = 160$$

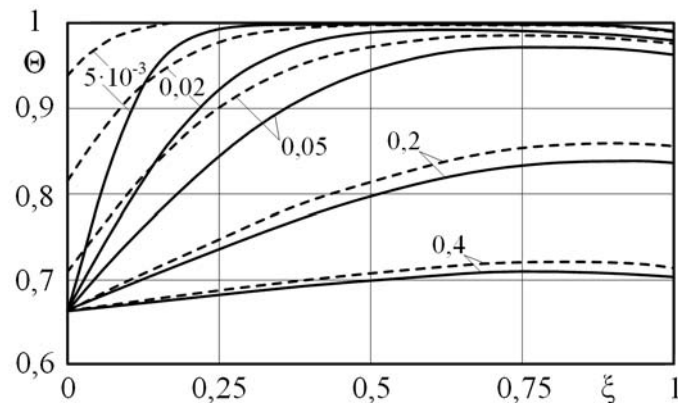


Рис. 4. – Распределение температуры в стержне:

$$D = 0,667; B = 0,312; 1 - Fo_1 = Fo_2 = 0; 2 - Fo_1 = Fo_2 = 0,1$$

*Исследование выполнено при финансовой поддержке Российского фонда фундаментальных исследований (РФФИ) в рамках научного проекта № 18-38-00029 мол\_а и Совета по грантам Президента РФ в рамках научного проекта МК–2614.2019.8.*

## Литература

1. Кудинов И.В., Еремин А.В., Сичинава Г.В., Бранфилова А.Н., Ткачев В.К., Курганова О.Ю. Экспериментальное исследование мощности газовой теплообменников // Вестник СамГТУ. Серия «Технические науки». Самара, 2017. №2(54). С.146 – 153.
  2. Лыков А.В. Теория теплопроводности. М.: Высшая школа, 1967. 600 с.
  3. Араманович И.Г., Левин В.И. Уравнения математической физики. М.: Наука, 1969. 288 с.
  4. Лыков А.В. Применение методов термодинамики необратимых процессов к исследованию тепло- и массообмена // Инженерно – физический журнал. 1965. Т. 9. № 3. С. 287.
  5. Liu K.C., Chang P.C. Analysis of Dual-Phase-Lag Heat Conduction in Cylindrical System with a Hybrid Method // Appl. Mathem. Modeling. 2007. V. 31. P. 369.
  6. Кудинов В.А., Еремин А.В., Кудинов И.В., Жуков В.В. Критические условия теплового взрыва с учетом пространственно-временной нелокальности // Известия высших учебных заведений. Авиационная техника. 2018. № 2. С. 100 – 104.
  7. Кирсанов Ю.А., Кирсанов А.Ю., Юдахин А.Е. Метод измерения тепловой релаксации в твердом теле // Теплофизика высоких температур. 2018. Т. 56. № 3. С. 446 – 454.
  8. Кирсанов Ю.А., Кирсанов А.Ю., Юдахин А.Е. Измерение времени тепловой релаксации и демпфирования температуры в твердом теле // Теплофизика высоких температур. 2017. Т. 55. № 1. С. 122 – 128.
  9. Kudinov V.A., Eremin A.V., Kudinov I.V., Zhukov V.V. Strongly Nonequilibrium Model of Thermal Ignition with Account for Space – Time Nonlocality // Combustion, Explosion and Shock Waves. 2018. V. 54(6). Pp. 649 – 653.
-

10. Калиткин Н.Н. Численные методы. М.: Наука, 1978. 512 с.

### References

1. Kudinov I.V., Eremin A.V., Sichinava G.V., Branfileva A.N., Tkachev V.K., Kurganova O. Ju. Vestnik SamGTU. Serija «Tehnicheskie nauki». Samara, 2017. №2(54). Pp.146 – 153.
2. Lykov A.V. Teorija teploprovodnosti [Heat conduction theory]. M.: Vysshaja shkola, 1967. 600 p.
3. Aramanovich I.G, Levin V.I. Uravnenija matematicheskoj fiziki [Equations of mathematical physics]. M.: Nauka, 1969. 288 p.
4. Lykov A.V. Inzhenerno – fizicheskij zhurnal. 1965. V. 9. № 3. p. 287.
5. Liu K.C., Chang P.C. Appl. Mathem. Modeling. 2007. V. 31. P. 369.
6. Kudinov V.A., Eremin A.V., Kudinov I.V., Zhukov V.V. Izvestija vysshih uchebnyh zavedenij. Aviacionnaja tehnika. 2018. № 2. Pp. 100 – 104.
7. Kirsanov Ju.A., Kirsanov A.Ju., Judahin A.E. Teplofizika vysokih temperatur. 2018. V. 56. № 3. Pp. 446 – 454.
8. Kirsanov Ju.A., Kirsanov A.Ju., Judahin A.E. Teplofizika vysokih temperatur. 2017. V. 55. № 1. Pp. 122 – 128.
9. Kudinov V.A., Eremin A.V., Kudinov I.V., Zhukov V.V. Combustion, Explosion and Shock Waves. 2018. V. 54(6). Pp. 649 – 653.
10. Kalitkin N.N. Chislennye metody [Numerical methods]. M.: Nauka, 1978. 512 p.